

УДК 661.66.7 · 661.66.3

© 1991

ОСОБЕННОСТИ СТРУКТУРЫ И МОДУЛЬ ЮНГА УГЛЕРОДНЫХ ВОЛОКОН

A. С. Котосонов, С. В. Кувшинников, В. М. Самойлов

Для широкого класса высокотемпературных углеродных волокон с аксиальной симметрией надкристаллитной организации предложена аналитическая формула по расчету модуля Юнга, включающая в себя упругие константы кристаллита графита и экспериментально определяемые усредненные текстурные и макроструктурные характеристики волокна. Расчетные результаты хорошо согласуются с измерениями модуля на углеродных волокнах, полученных из различных сырьевых материалов: полиакрилонитрила, вискозы и окисленных пеков.

В современных композиционных материалах на основе различных матриц в качестве армирующего наполнителя широко применяются высокопрочные и высокомодульные углеродные волокна (УВ) диаметром 5—10 мкм. Для получения УВ используются исходные волокна из вискозы, полиакрилонитрила (ПАН) или специально переработанных нефтяных пеков [1]. Для достижения высокого модуля волокна после термохимической обработки и карбонизации нагревают до температур выше 2000 °C. Такие УВ состоят из графитоподобных слоев, упакованных в пачки или кристаллиты, причем слои в основном ориентированы вдоль оси волокна. Как правило, в УВ кристаллиты не имеют выраженной ориентации в плоскости поперечного сечения волокна, а образуют хаотично упакованные пачки изогнутых слоев с переменным радиусом кривизны. Макроструктура и свойства таких УВ трансверсально изотропны.

Для объяснения экспериментальных результатов по модулю Юнга для УВ было предложено несколько теоретических моделей [2, 3], в той или иной мере учитывающих роль ориентации кристаллитов относительно оси волокна. Наиболее часто используется модель Ройсса или ее модификация [2]. Несмотря на удовлетворительное качественное объяснение модуля УВ, опубликованные модели содержали подгоночные параметры, введение которых не было достаточно обоснованным. В частности, значение константы c_{44} обычно существенно выше принятых в литературе значений для графитовых кристаллитов [4]. В данной работе предложена новая формула для модуля Юнга УВ, включающая в себя известные упругие константы кристаллитов графита и экспериментально определяемые макроструктурные и текстурные характеристики волокна.

1. Влияние текстуры и макроструктуры на упругие свойства УВ

Большая структурная анизотропия графитовых кристаллитов приводит к высокой анизотропии их физических свойств и, в частности, упругих характеристик. В табл. 1 приведены константы упругости c_{ij} и податливости s_{ij} отдельных кристаллитов [4]. Следует отметить, что все константы, кроме c_{44} и s_{44} ($s_{44}=1/c_{44}$), практически не зависят от степени совершенства кристаллической структуры. Значения c_{44} могут изменяться от

2.5 до 4 ГПа, причем большие значения соответствуют более дефектным кристаллитам.

Естественно, что на макроскопические свойства УВ большое влияние оказывает пространственная ориентация кристаллитов (текстура), особенности взаимного контакта соседних кристаллитов, общая пористость ε и пористая структура. В ряде случаев для углеродных материалов влияние поликристалличности и пористости на макросвойства может быть разделено [5]. В частности, макроскопический модуль Юнга УВ в направлении оси волокна, обычно совпадающей с осью текстуры z , может быть представлен в виде произведения модуля беспористых объемов E_{oz} и коэффициента $K_z(\varepsilon)$, учитывающего влияние величины пористости ε и пористой структуры

$$E_z = E_{oz} K_z(\varepsilon). \quad (1)$$

Модуль E_{oz} зависит от формы отдельных кристаллитов, корреляции между их взаимными ориентациями и средней ориентации относительно аксиальной оси текстуры.

Для поликристаллов, для которых известна только текстурная функция, могут быть даны лишь предельные значения макроскопических упругих свойств. Так, в приближении однородных напряжений (модель Ройсса) можно получить нижнюю границу модуля Юнга [6]

$$\frac{1}{E_{oz}^R} = S_{33}^R = s_{33} \langle 1 - 2 \sin^2 \theta + \sin^4 \theta \rangle + (2s_{13} + s_{44}) \times \langle \sin^2 \theta - \sin^4 \theta \rangle + s_{11} \langle \sin^4 \theta \rangle, \quad (2)$$

где S_{33}^R — податливость УВ; θ — угол между нормалью к слоям кристаллита и осью текстуры; угловые скобки означают усреднение по объему образца. В приближении однородной деформации (модель Фойгта) можно найти верхнюю границу жесткости УВ

$$C_{33}^V = c_{33} \langle 1 - 2 \sin^2 \theta + \sin^4 \theta \rangle + 2(c_{13} + 2c_{44}) \langle \sin^2 \theta - \sin^4 \theta \rangle + c_{11} \langle \sin^4 \theta \rangle. \quad (3)$$

Значение модуля Юнга E_{oz}^V на несколько процентов ниже C_{33}^V , но при высокой текстурированности УВ можно принять, что $E_{oz}^V \approx C_{33}^V$ [6].

Для идеально текстурированных УВ значения E_{oz}^V и E_{oz}^R практически совпадают, тогда как в случае изотропных волокон $E_{oz}^V/E_{oz}^R \approx 24$, т. е. различие становится значительным. Экспериментально наблюдаемые значения E_z в УВ занимают промежуточное положение между E_{oz}^V и E_{oz}^R , но ближе к нижней границе. Однако для корректного сопоставления эксперимента с расчетом по той или иной модели надо корректно учитывать влияние пористости УВ на их макроскопические свойства.

Количественная оценка влияния пор на E_z связана с величиной $K_z(\varepsilon)$ в формуле (1). Коэффициент $K_z(\varepsilon)$, названный коэффициентом связности [5], характеризует макроструктуру и является мерой реализации свойства, заложенного в беспористых микрообъемах, в свойстве макрообразца. В первом приближении $K_z(\varepsilon)$ равен отношению усредненной по длине образца площади чистого или «живого» поперечного сечения к его внешнему геометрическому сечению. К сожалению, между ε и $K_z(\varepsilon)$ не существует однозначной зависимости. Если структура пор детально не известна, то при данном ε можно говорить лишь о границах K_z ,

$$0 < K_z \leq 1 - \varepsilon. \quad (4)$$

В [2, 3] и ряде других работ скорректированный модуль находили делением измеренного значения E_z на величину γ/γ_c , где γ — измеренная

Таблица 1
Упругие константы
кристалла графита

$c_{ij}, \text{ ГПа}$	$s_{ij}, 10^{-4} \text{ ГПа}^{-1}$
$c_{11} = 1060$	$s_{11} = 9.8$
$c_{12} = 180$	$s_{12} = -1.6$
$c_{13} = 15$	$s_{13} = -3.3$
$c_{33} = 36.5$	$s_{33} = 274$
$c_{44} = 2.5 - 4.0$	$s_{44} = 2500 \div 4000$

плотность УВ, γ_c — расчетная плотность кристаллитов. Т. е. априори выбиралась верхняя граница K_z , так как $\gamma/\gamma_c = 1 - \epsilon$. Вместе с тем реальное значение K_z для УВ можно оценить из независимых измерений.

Наиболее просто значение K в направлении z определяется [7] по отношению электрической проводимости макрообразца σ_z к проводимости его беспористых объемов σ_{oz}

$$K_z = \sigma_z / \sigma_{oz} \simeq \sigma_z / \sigma_1 \langle \sin^2 \theta \rangle, \quad (5)$$

где σ_1 — проводимость кристаллита вдоль слоев. Обычно УВ имеют «турбостратную» или квазидвумерную кристаллическую структуру с межслоевым расстоянием $d_c \geq 0.342$ нм. Для таких материалов значение σ_1 при

низких температурах, например при 4.2 К, не зависит от степени дефектности углеродных слоев [7] и, следовательно, от температуры термической обработки (ТТО) и составляет 1250 $(\Omega \cdot \text{см})^{-1}$.

Величина σ_1 при комнатной или другой температуре может быть рассчитана [7], если известно значение уровня Ферми или хотя бы относительное изменение σ_z в выбранном интервале температур. В частности, по отношению проводимостей или сопротивлений, измеренных на УВ при температуре жидкого азота (77 К) и комнатной температуре (293 К), можно найти расчетное значение $\sigma_1(293)$ от отношения $\sigma_z(293)/\sigma_z(77)$, показано на рис. 1. Таким

образом, практические для всех УВ с ТТО = 1600–2800 °C значения K_z и E_{oz} могут быть получены и величина E_{oz} сопоставлена с теоретическими оценками в рамках соответствующих моделей.

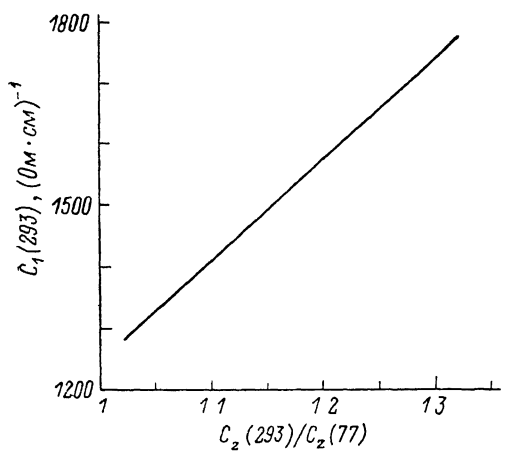


Рис. 1. Взаимосвязь между $C_1(293)$ и отношением $C_z(293)/C_z(77)$.

ние σ_1 при 293 К. Зависимость $\sigma_1(293)$ от отношения $\sigma_z(293)/\sigma_z(77)$, рассчитанная по данным [7], таким образом, практически для всех УВ с ТТО = 1600–2800 °C значения K_z и E_{oz} могут быть получены и величина E_{oz} сопоставлена с теоретическими оценками в рамках соответствующих моделей.

2. Экспериментальные результаты и обсуждение

В данной работе рассмотрено влияние текстуры УВ на модуль упругости, нормированный на связность K . Для исследования были выбраны углеродные волокна, полученные из ПАН, вискозы и нефтяного пека, пропущенные термообработку при разных температурах с выдержкой при максимальной температуре в течение 1 ч. На образцах УВ измерялись плотность γ , электропроводность σ_z , отношение $\sigma_z(293)/\sigma_z(77)$, динамический модуль Юнга E_z и текстурный параметр $\langle \sin^2 \theta \rangle$. Плотность измерялась методом градиентной колонки, электропроводность — четырехзондовым методом, динамический модуль — по скорости ультразвука, текстурный параметр — по анизотропии диамагнитной восприимчивости. Относительная погрешность измерения σ_z не превышала 2 %, γ , E_z и $\sigma_z(293)/\sigma_z(77)$ — 1 %. Текстурный параметр определялся по формуле [8]

$$\langle \sin^2 \theta \rangle = 2(\chi_y - \chi_1) / (\chi_y + 2\chi_z - 3\chi_1), \quad (6)$$

где χ_y , χ_z — диамагнитные восприимчивости перпендикулярно и вдоль оси волокна; χ_1 — восприимчивость отдельных кристаллитов вдоль слоев. Отсюда видно, что погрешность оценки $\langle \sin^2 \theta \rangle$ зависит от выбора величины χ_1 , которая для углеродных материалов обычно принимается равной $(0.25-0.05) \cdot 10^{-6} \text{ см}^3/\text{г}$. На основании сопоставления данных по текстуре,

Таблица 2

УВ	ТТО, °C	γ , г/см ³	$\langle \sin^2 \theta \rangle$	$\sigma_x(293)$	$\sigma_1(293)$	K_z	E_x	E_{0x}
				(Ом · см) ⁻¹				ГПа
П1-17	1700	1.78	0.965	940	1340	0.73	252	345
П1-19	1900	1.81	0.965	1020	1350	0.78	276	354
П1-21	2100	1.84	0.965	1040	1340	0.80	299	374
П1-23	2300	1.86	0.97	1100	1380	0.82	307	374
П1-25	2500	1.89	0.975	1190	1450	0.84	342	407
П1-28	2800	1.94	0.98	1330	1570	0.86	383	445
П2-17	1700	1.75	0.955	890	1340	0.70	197	281
П2-19	1900	1.78	0.96	980	1350	0.76	235	309
П2-21	2100	1.80	0.96	1060	1360	0.81	246	304
П2-23	2300	1.84	0.965	1100	1450	0.79	246	311
П2-25	2500	1.88	0.97	1220	1510	0.84	270	321
П2-28	2800	1.94	0.97	1330	1580	0.87	315	362
В-17	1700	1.48	0.82	370	1340	0.34	52	153
В-19	1900	1.49	0.82	410	1340	0.37	58	157
В-21	2100	1.53	0.825	420	1350	0.38	58	153
В-23	2300	1.53	0.845	460	1360	0.40	62	155
В-25	2500	1.55	0.855	530	1400	0.45	72	160
НП-18	1800	1.55	0.70	240	1370	0.25	31	124
НП-20	2000	1.54	0.72	260	1380	0.26	34	131
НП-24	2400	1.56	0.75	250	1420	0.24	33	138

полученных на модельных высокотекстурированных УВ методами рентгеноструктурного анализа, с данными по восприимчивости значение χ_1 было выбрано равным $0.25 \cdot 10^{-6} \text{ см}^3/\text{г}$. При этом относительная случайная погрешность определения $\langle \sin^2 \theta \rangle$ не превышала 1 %.

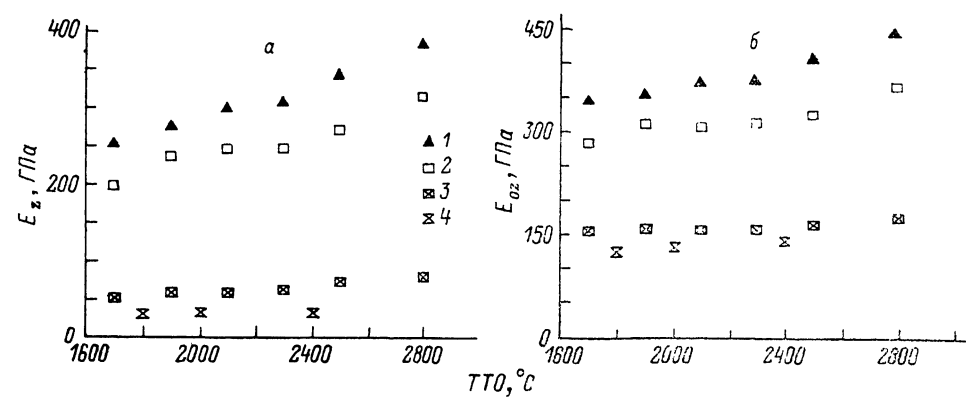


Рис. 2. Влияние температуры термической обработки на модуль Юнга УВ E_x (а) и модуль Юнга, нормированный на связность УВ $E_{0x}=E_x/K_z$ (б).

1 — УВ серии П1, 2 — П2, 3 — В, 4 — НП

Результаты исследований свойств и структурных характеристик в зависимости от температуры обработки представлены в табл. 2. Обозначения П1 и П2 соответствуют двум сериям волокон на основе ПАН, В — на основе вискозы и НП — на основе окисленного нефтяного пека.

Как видно из табл. 2, для каждой серии УВ связность K_z и текстурный параметр $\langle \sin^2 \theta \rangle$ растут с увеличением ТТО, что и приводит к росту модуля E_x (рис. 2, а). Необходимо заметить, что относительное увеличение связности K_z с ростом ТТО происходит быстрее, чем увеличение плотности. Из этого следует, что уменьшение объема пор в УВ сопровождается изменением структуры пор.

Поскольку для различных типов УВ исходные карбонизованные волокна имеют разную пористость и текстуру, то между E_x и ТТО нет одно-

значного соответствия (рис. 2, а). То же самое можно сказать о найденном с помощью соотношений (1) и (5) модуле Юнга беспористых объемов E_{ox} (рис. 2, б). Однако определенная взаимосвязь может существовать между E_{ox} и $\langle \sin^2 \theta \rangle$, если характер надкристаллитной структуры для рассматриваемых УВ остается неизменным. Сопоставление E_{ox} и $\langle \sin^2 \theta \rangle$ для исследованных типов УВ представлено на рис. 3 в виде точек.

Экспериментальные результаты по E_{ox} были сопоставлены с расчетными значениями, полученными в приближении Фойгта и Ройсса. При этом принималось, что $\langle \sin^4 \theta \rangle = \langle \sin^2 \theta \rangle \langle 2 - \sin^2 \theta \rangle / \langle 3 - 2 \sin^2 \theta \rangle$. Это соотношение справедливо для изученных УВ, поскольку текстурная функция, описывающая угловое распределение кристаллитов в изученных УВ, имеет вид $J(\theta) \simeq A \sin^n \theta$. На рис. 3 приведена только нижняя расчетная

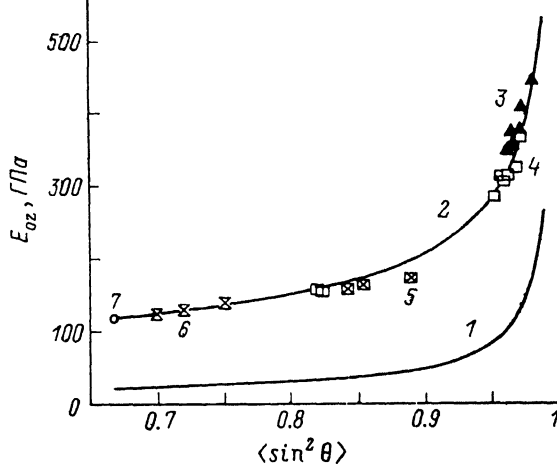


Рис. 3. Зависимость модуля Юнга, нормированного на связность образца ($E_{ox} = E_s / K_s$), от текстурного параметра $\langle \sin^2 \theta \rangle$.

1 — расчетная нижняя граница E_{ox} в приближении Ройсса, 2 — расчет E_{ox} по формуле (8). Экспериментальные точки: 3 — УВ серии П1, 4 — П2, 5 — В, 6 — НП, 7 — стеклоуглерод, ТТО = 2200 °C.

граница E_{ox}^R (приближение Ройсса, кривая 1), так как верхняя граница $E_{ox}^V \simeq c_{11} \langle \sin^4 \theta \rangle$ и всегда значительно превышает экспериментальные значения E_{ox} при наблюдаемых величинах $\langle \sin^2 \theta \rangle$. Вместе с тем экспериментальные точки всегда лежат заметно выше кривой 1, т. е. не могут быть объяснены также и в рамках модели Ройсса.

Однако особенности надкристаллитной структуры УВ позволяют уточнить аналитическую зависимость E_{ox} от $\langle \sin^2 \theta \rangle$. В рассматриваемых УВ базисные слои соседних кристаллитов образуют длинные макрослои или ленты, причем пачки макрослоев согнуты и скручены относительно оси волокна. Средний трансверсальный радиус кривизны этих хаотично упакованных пачек обычно не превышает десятков нанометров и существенно меньше среднего размера развернутых макрослоев [3]. В УВ с такой «трубчатой» надкристаллитной организацией участки с максимальной и минимальной податливостью имеют, по-видимому, равновероятное влияние на макроскопические упругие свойства. По аналогии с двумерной макроскопической проводимостью поликристаллов [9] можно предположить, что модуль Юнга таких УВ равен

$$E_{ox} \simeq (E_{ox}^V E_{ox}^R)^{1/2} \simeq (E_{ox}^R C_{33}^V)^{1/2}, \quad (7)$$

где E_{ox}^R и C_{33}^V находятся из (2) и (3). Ввиду малости вклада c_{13} и c_{44} в C_{33}^V и s_{13} в E_{ox}^R (табл. 1) полная аналитическая запись формулы (7) может быть заменена более простым приближенным выражением, сохраняющим физический смысл и точность расчета

$$E_{\alpha} \simeq \left(\frac{c_{11} \langle \sin^4 \theta \rangle + c_{33} \langle 1 - \sin^2 \theta \rangle}{s_{11} \langle \sin^4 \theta \rangle + s_{33} \langle 1 - \sin^2 \theta \rangle + s_{44} \langle \sin^2 \theta - \sin^4 \theta \rangle} \right)^{1/2}. \quad (8)$$

Здесь c_{ij} , s_{ij} — константы отдельных кристаллитов (табл. 1). Рассчитанная по формуле (8) теоретическая кривая достаточно хорошо аппроксимирует полученные значения E_{α} для всех исследованных УВ (рис. 3, кривая 2). При этом наилучшая аппроксимация соответствует величине $s_{44} = -0.26 \text{ ГПа}^{-1}$, т. е. лежит в интервале значений s_{44} , принятых в литературе для несовершенных кристаллитов графита. Легко видеть, что приведенная формула дает правильные оценки модуля Юнга и в случае идеально текстурированного УВ, т. е. при $\langle \sin^2 \theta \rangle = 1$, и в случае монокристалла графита при измерении модуля вдоль оси c ($\langle \sin^2 \theta \rangle = 0$).

Формула (8) может быть использована для оценки E_{α} в случае других углеродных материалов, если для них надкристаллитная организация подобна надкристаллитной организации рассмотренных УВ. В качестве примера можно привести макроизотропный стеклоуглерод, в котором взаимная ориентация кристаллитов в микрообъемах такая же, как в УВ в радиальном направлении. В частности, различия в надкристаллитной структуре между стеклоуглеродом и УВ на основе окисленных нефтяных пеков менее выражены, чем между стеклоуглеродом и поликристаллическими графитами. Вместе с тем не все УВ имеют описанную выше структуру и, следовательно, применимость формулы (8) для объяснения модуля Юнга УВ с другой надкристаллитной организацией имеет разумные ограничения.

Список литературы

- [1] Fitzer E., Gkogkidis A., Heine M. // High Temp. — High. Press. 1984. V. 16. P. 363—392.
- [2] Fisher L., Ruland W. // Coll. Polym. Sci. 1980. V. 258. N 8. P. 917—922.
- [3] Guigon M., Oberlin A. // Composite Sci. and Techn. 1986. V. 27. P. 1—23.
- [4] Kelly B. T. Physics of Graphite. London, 1981. 477 p.
- [5] Котосонов А. С. // ДАН АН СССР. 1982. Т. 262. № 1. С. 133—135.
- [6] Reynolds W. // Chem. and Phys. of Carbon. 1973. V. 11. P. 1—64.
- [7] Котосонов А. С. // ФТТ. 1989. Т. 31. № 8. С. 146—152.
- [8] Котосонов А. С., Кувшинников С. В., Володина И. С. // ФТТ. 1988. Т. 30. № 5. С. 1370—1373.
- [9] Дрейзин Ю. А., Дыхне А. М. // ЖЭТФ. 1984. Т. 84. № 5. С. 1756—1760.

НИИГРАФИТ
Москва

Поступило в Редакцию
14 мая 1990 г.